

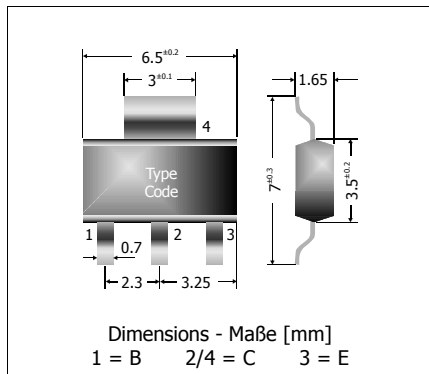
PZT2907 / PZT2907A

PNP

Suface Mount Si-Epitaxial Planar Switching Transistors
Si-Epitaxie-Planar-Schalttransistoren für die Oberflächenmontage

PNP

Version 2006-05-09

Power dissipation
Verlustleistung

1.3 W

Plastic case
Kunststoffgehäuse

SOT-223

Weight approx.
Gewicht ca.

0.04 g

Plastic material has UL classification 94V-0
Gehäusematerial UL94V-0 klassifiziertStandard packaging taped and reeled
Standard Lieferform gegurtet auf Rolle**Maximum ratings ($T_A = 25^\circ\text{C}$)****Grenzwerte ($T_A = 25^\circ\text{C}$)**

			PZT2907	PZT2907A
Collector-Emitter-volt. - Kollektor-Emitter-Spannung	E open	- V_{CEO}	40 V	60 V
Collector-Base-volt. - Kollektor-Basis-Spannung	B open	- V_{CBO}	60 V	60 V
Emitter-Base-voltage - Emitter-Basis-Spannung	C open	- V_{EBO}	5 V	
Power dissipation – Verlustleistung		P_{tot}	1.3 W ¹⁾	
Collector current – Kollektorstrom (dc)		- I_C	600 mA	
Junction temperature – Sperrsichttemperatur Storage temperature – Lagerungstemperatur	T_j T_s		-55...+150°C -55...+150°C	

Characteristics ($T_j = 25^\circ\text{C}$)**Kennwerte ($T_j = 25^\circ\text{C}$)**

		Min.	Typ.	Max.
Collector-cutoff current – Kollektor-Reststrom $I_E = 0, - V_{CB} = 50 \text{ V}$	PZT2907 PZT2907A	- I_{CBO} - I_{CBO}	— —	20 nA 10 nA
$I_E = 0, - V_{CB} = 50 \text{ V}, T_j = 150^\circ\text{C}$	PZT2907 PZT2907A	- I_{CBO} - I_{CBO}	— —	20 μA 10 μA
Emitter-cutoff current – Emitter-Reststrom $I_C = 0, - V_{EB} = 3 \text{ V}$		- I_{EBO}	— —	10 nA
Collector saturation voltage – Kollektor-Sättigungsspannung ²⁾ $- I_C = 150 \text{ mA}, - I_B = 15 \text{ mA}$ $- I_C = 500 \text{ mA}, - I_B = 50 \text{ mA}$		- V_{CEsat} - V_{CEsat}	— —	0.4 V 1.6 V
Base saturation voltage – Basis-Sättigungsspannung ²⁾ $- I_C = 150 \text{ mA}, - I_B = 15 \text{ mA}$ $- I_C = 500 \text{ mA}, - I_B = 50 \text{ mA}$	PZT2907 PZT2907A	- V_{BEsat} - V_{BEsat}	— —	

1) Mounted on P.C. board with 3 mm^2 copper pad at each terminal
Montage auf Leiterplatte mit 3 mm^2 Kupferbelag (Lötpad) an jedem Anschluss

2) Tested with pulses $t_p = 300 \mu\text{s}$, duty cycle $\leq 2\%$ – Gemessen mit Impulsen $t_p = 300 \mu\text{s}$, Schaltverhältnis $\leq 2\%$

Characteristics ($T_j = 25^\circ\text{C}$)
Kennwerte ($T_j = 25^\circ\text{C}$)

			Min.	Typ.	Max.
DC current gain – Kollektor-Basis-Stromverhältnis					
- $I_C = 0.1 \text{ mA}$, - $V_{CE} = 10 \text{ V}$	PZT2907 PZT2907A	h_{FE} h_{FE}	35 75	— —	— —
- $I_C = 1 \text{ mA}$, - $V_{CE} = 10 \text{ V}$	PZT2907 PZT2907A	h_{FE} h_{FE}	50 100	— —	— —
- $I_C = 10 \text{ mA}$, - $V_{CE} = 10 \text{ V}$	PZT2907 PZT2907A	h_{FE} h_{FE}	75 100	— —	— —
- $I_C = 150 \text{ mA}$, - $V_{CE} = 10 \text{ V}$	PZT2907 PZT2907A	h_{FE} h_{FE}	100 100	— —	300 300
- $I_C = 500 \text{ mA}$, - $V_{CE} = 10 \text{ V}$	PZT2907 PZT2907A	h_{FE} h_{FE}	30 50	— —	— —
Gain-Bandwidth Product – Transitfrequenz		f_T	200 MHz	—	—
- $I_C = 20 \text{ mA}$, - $V_{CE} = 20 \text{ V}$, $f = 100 \text{ MHz}$					
Collector-Base Capacitance – Kollektor-Basis-Kapazität		C_{CBO}	—	—	8 pF
- $V_{CB} = 10 \text{ V}$, $I_E = i_e = 0$, $f = 1 \text{ MHz}$					
Emitter-Base Capacitance – Emitter-Basis-Kapazität		C_{EBO}	—	—	30 pf
Switching times – Schaltzeiten					
delay time	- $V_{CC} = 30 \text{ V}$, - $I_C = 150 \text{ mA}$, - $I_{B1} = 15 \text{ mA}$	t_d	—	—	10
rise time		t_r	—	—	40
storage time	- $V_{CC} = 6 \text{ V}$, - $I_C = 150 \text{ mA}$, - $I_{B1} = - I_{B2} = 15 \text{ mA}$	t_s	—	—	80
fall time		t_f	—	—	30
Thermal resistance junction to ambient air Wärmewiderstand Sperrsicht – umgebende Luft		R_{thA}	< 93 K/W ¹⁾		
Thermal resistance junction to soldering point Wärmewiderstand Sperrsicht – Lötpad		R_{thS}	< 27 K/W		
Recommended complementary NPN transistors Empfohlene komplementäre NPN-Transistoren			PZT2222, PZT2222A		

¹ Mounted on P.C. board with 3 mm^2 copper pad at each terminal
Montage auf Leiterplatte mit 3 mm^2 Kupferbelag (Lötpad) an jedem Anschluss